



Modelo Algébrico de Cebeci e Smith

IM – 450 'Modelagem em Turbulência' - Prof. Eugênio Spanó Rosa FEM/DE UNICAMP



Modelo de Cebeci & Smith (I)

• O modelo de Cebeci e Smith (1967) é um modelo de duas camadas com ν_T dado por expressões distintas para cada camada. A viscosidade turbulenta é:

$$\nu_T = \nu_{Ti}, \quad y \leq y_m$$

$$\nu_T = \nu_{To}, \quad y > y_m$$

• onde y_m é o menor valor de y para o qual $\nu_{Ti} = \nu_{To}$. Os valores de ν_T para a camada interna, ν_{Ti} e para a camada ext. ν_{To} , são:

• Camada Interna

$$\nu_{Ti} = \ell_{mix}^2 \left[\left(\frac{\partial u}{\partial y} \right)^2 + \left(\frac{\partial v}{\partial x} \right)^2 \right]^{1/2}$$

$$\ell_{mix} = \kappa y \left[1 - \text{Exp} \left(- \frac{y^+}{A^+} \right) \right]$$

• Camada Externa

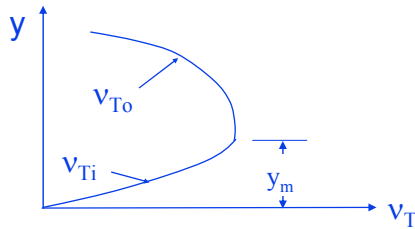
$$\nu_{To} = \alpha \cdot U_e \cdot \delta^* \cdot F_{Kleb}(y; \delta)$$

onde δ^* é a espessura de deslocamento da C.L. $\delta^* = \int_0^{\delta} \left(1 - \frac{U}{U_e} \right) dy$
definida por:.

IM – 450 'Modelagem em Turbulência' - Prof. Eugênio Spanó Rosa FEM/DE UNICAMP



Modelo de Cebeci & Smith (III)



Representação do perfil da viscosidade turbulenta, típico de uma camada limite turbulenta, a partir da representação de v_{Ti} válida de $0 < y < y_m$ e v_{To} para $y > y_m$.



Modelo de Cebeci & Smith (II)



• Coeficientes de fechamento:

$$\kappa = 0.40,$$

$$\alpha = 0.0168,$$

$$A^+ = 26 \left[1 + y \frac{dP/dx}{\rho u_\tau^2} \right]^{-1/2}$$

• O coef. A^+ difere do valor de van Driest para melhorar a capacidade do modelo em C.L. com grad. pressão não nulos.

• Entretanto, o valor proposto por van Driest p/A^+ deve ser usado em escoamentos $p/$ dutos, caso contrário a constante será imaginária.

$$A^+ = 26 \left[1 + a \cdot b \frac{v \cdot dP/dx}{\rho u_\tau^3} \right]^{-1}$$

$$a = 7.1, \quad b = 2.9 \text{ se } p^+ > 0 \text{ e } b = 4.25 \text{ se } p^+ < 0$$

• O modelo é válido para escoamentos 2D.

• Detalhes modificações no modelo para: transf. de massa, curvatura, rugosidade, baixo Reynolds ou mesmo extensão para 3D são mostradas no livro sobre o modelo de Cebeci e Smith.



Modelo de Cebeci & Smith (IV)



• Para escoamentos turbulentos com elevados Re tipicamente o casamento entre as camadas ocorre dentro da faixa representada pela lei log. Uma estimativa p/ y_m segue:

• Camada Interna: $dU/dy \approx u_\tau / (\kappa y)$ (lei log), então:

$$v_{Ti} \approx (\kappa y)^2 \frac{u_\tau}{\kappa y} = (\kappa y) u_\tau = \kappa v y^+$$

• Camada Externa: $y_m/\delta \ll 1$ de maneira $F_{kleb} = 1$

$$v_{To} \approx \alpha U_e \delta^* = \alpha v Re_{\delta^*}$$

• Igualando-se v_{Ti} e v_{To} encontra-se:

$$y_m^+ \approx \frac{\alpha}{\kappa} Re_{\delta^*} = 0.042 \cdot Re_{\delta^*}$$

• Assumindo $p/$ uma C.L. típica, $Re_{\delta^*} \cong 10^4$, encontra-se que $y_m^+ = 420$.

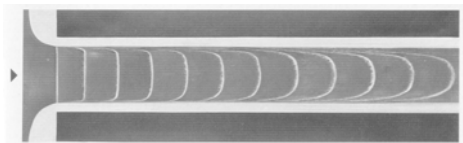
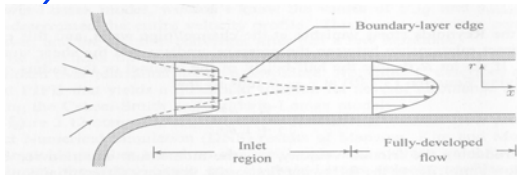


Aplicações do Modelo Algébrico



Escoamentos em Canais e Tubulações

Escoamentos Desenvolvidos em Dutos



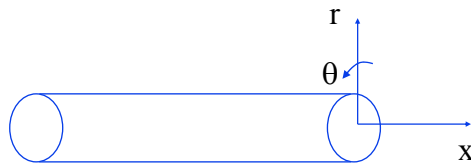
- Escoamentos hidrodinamicamente desenvolvidos não apresentam variações na direção principal, i.e., $d\phi/dz = 0$;
- Isto implica em dizer que o perfil de velocidades deixa de variar na direção z !
- O comprimento necessário para o desenvolvimento, ℓ_e , é estimado (Schlichting)

$$\frac{\ell_e}{D} = 4.4 \text{Re}_D^{1/6}$$

- onde Re_D é o n. Reynolds baseado no diâmetro do tubo (ou na metade da altura do canal). O comprimento de entrada num tubo com $\text{Re}_D = 10^5$ é de 30 diâmetros livres.

Escoamento Desenvolvido em Tubos Circulares

- Escoamentos completamente desenvolvidos em tubos apresentam $V = 0$ e $W = 0$. Além disto, há simetria azimutal de tal forma que $d/d\theta = 0$.



- As velocidades correspondentes às direções (x, r, θ) são: (U, V, W) . O raio do tubo é 'a'.



Escoamento Desenvolvido em Tubos Circulares



- O campo de velocidade é independente da coordenada θ . As equações de quantidade de movimento são:

$$\frac{1}{\rho} \frac{\partial P}{\partial x} = \frac{1}{r} \frac{\partial}{\partial r} \left(vr \frac{\partial U}{\partial r} - r \overline{uv} \right)$$

$$\frac{1}{\rho} \frac{\partial P}{\partial r} = -\frac{1}{r} \frac{\partial}{\partial r} (r \overline{vv}) + \frac{\overline{w^2}}{r}$$

$$0 = -\frac{\partial}{\partial r} (\overline{vw}) - \frac{2 \overline{vw}}{r}$$

- Integrando a última equação em r , sabendo que $\overline{vw} = 0$ na parede, $r=a$, então $\overline{vw} = 0$ em todo domínio. Neste caso as eq. de Reynolds para escoamento em tubulação se reduzem para:

$$\frac{1}{\rho} \frac{\partial P}{\partial x} = \frac{1}{r} \frac{\partial}{\partial r} \left(vr \frac{\partial U}{\partial r} - r \overline{uv} \right)$$

$$\frac{1}{\rho} \frac{\partial P}{\partial r} = -\frac{1}{r} \frac{\partial}{\partial r} (r \overline{vv}) + \frac{\overline{w^2}}{r}$$

IM - 450 'Modelagem em Turbulência' - Prof. Eugênio Spanó Rosa FEM/DE UNICAMP



Escoamento Desenvolvido em Tubos Circulares



$$\frac{1}{\rho} \frac{\partial P}{\partial x} = \frac{1}{r} \frac{\partial}{\partial r} \left(vr \frac{\partial U}{\partial r} - r \overline{uv} \right)$$

$$\frac{1}{\rho} \frac{\partial P}{\partial r} = -\frac{1}{r} \frac{\partial}{\partial r} (r \overline{vv}) + \frac{\overline{w^2}}{r}$$

- Diferenciando-se a equação em (r) por x , tem-se que $d^2P/dr^2 dx = 0$, logo dP/dx é independente de r e o conjunto de equações pode ser integrado:

$$\frac{r^2}{2} \frac{1}{\rho} \frac{\partial P}{\partial x} = \left(vr \frac{\partial U}{\partial r} - r \overline{uv} \right) + A(x)$$

$$\frac{P}{\rho} = -\overline{v^2} + \int_a^r \frac{\overline{w^2} - \overline{v^2}}{r} + B(x)$$

IM - 450 'Modelagem em Turbulência' - Prof. Eugênio Spanó Rosa FEM/DE UNICAMP



Escoamento Desenvolvido em Tubos Circulares



- As condições de contorno no centro do tubo ($r = 0$) são:

$$\overline{uv} = 0 \quad \text{e} \quad \frac{\partial U}{\partial r} = 0$$

- E na parede, $r = a$: $\overline{uv} = \overline{vv} = 0$ e $v \frac{\partial U}{\partial r} = -u^*$ onde $u^* = \sqrt{\tau_w / \rho}$

- Para $x = 0$ e $r = a$, considere $P = 0$, (arbitrário) então $A(x) = 0$

$$\frac{r^2}{2} \frac{1}{\rho} \frac{\partial P}{\partial x} = (-r \overline{uv}) + A(x)$$

$$\rightarrow \frac{1}{\rho} \frac{\partial P}{\partial x} = \frac{2}{a} v \frac{\partial U}{\partial r} = \frac{2}{a} \left(\frac{\tau_w}{\rho} \right)$$

- Integrando em x a distribuição de pressão fica sendo:

$$\frac{P}{\rho} = -\frac{2}{a} \left(\frac{\tau_w}{\rho} \right) x + C(r)$$



Escoamento Desenvolvido em Tubos Circulares



- Das equações:

$$\frac{P}{\rho} = -\overline{v^2} + \int_a^r \frac{\overline{w^2} - \overline{v^2}}{r} + B(x) \quad \text{e} \quad \frac{P(x)}{\rho} = -\frac{2}{a} \left(\frac{\tau_w}{\rho} \right) x + C(r)$$

- Encontra-se que $B(x)$ é:
- Neste caso as equações da quantidade de movimento para as direções (x) e (r) se reduzem para:

$$\overline{uv} = v \frac{\partial U}{\partial r} + \frac{r}{a} \left(\frac{\tau_w}{\rho} \right)$$

$$\frac{P}{\rho} + \frac{2}{a} \left(\frac{\tau_w}{\rho} \right) x = -\overline{v^2} + \int_a^r \frac{\overline{w^2} - \overline{v^2}}{r} dr$$



Escoamento Desenvolvido em Tubos Circulares



$$\overline{uv} = v \frac{\partial U}{\partial r} + \frac{r}{a} \left(\frac{\tau_w}{\rho} \right)$$

- A soma das tensões turbulenta e laminar é constante.
- Obtendo-se experimentalmente o gradiente médio de velocidades e a tensão na parede pode-se determinar \overline{uv} .
- Este método é uma das maneiras de se checar o procedimento de determinação de \overline{uv} .

$$\frac{P}{\rho} + \frac{2}{a} \left(\frac{\tau_w}{\rho} \right) x = -\overline{v^2} + \int_a^r \frac{\overline{w^2} - \overline{v^2}}{r} dr$$

- A pressão estática varia linearmente com x .
- A diferença entre a pressão estática e o atrito na parede não é zero. Existe uma parcela de pressão devido as flutuações de velocidade.

IM - 450 'Modelagem em Turbulência' - Prof. Eugênio Spanó Rosa FEM/DE UNICAMP



Consequências do Escoamento Desenvolvido (I)



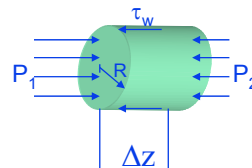
- Eq. da massa, r coordenada. do centro do canal/tubo ($j = 0$ ou 1)

$$\frac{\partial W}{\partial z} + \frac{1}{r^j} \frac{\partial}{\partial r} [r^j V] = 0$$

- Como $dW/dz = 0$, desenvolvido, então $d(r^j V)/dr = 0$ ou $r^j V = \text{constante!}$
Mas como na parede $V = 0$ (sem injeção ou sucção), $V = 0$ em todo domínio.
- A velocidade W é uma função de r somente!
- Pode-se então concluir que os termos inerciais são nulos para o escoamento desenvolvido.
- A gradiente de pressão equilibra as tensões na parede somente!
- O balanço de forças se reduz para:

$$\Delta P_{1,2} \cdot A_T = \tau_w \cdot P \cdot \Delta Z$$

- Onde A_T , P referem-se a área transversal ao escoamento e ao perímetro onde τ_w atua.



IM - 450 'Modelagem em Turbulência' - Prof. Eugênio Spanó Rosa FEM/DE UNICAMP

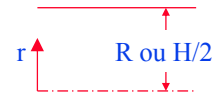


Equação p/ Escoamento Desenvolvido (I)



- Eq. da quantidade de movimento é simplificada para:

$$0 = -\frac{dP}{dz} + \frac{1}{r^j} \frac{d}{dr} [r^j \tau] \quad \text{onde} \quad \tau = \mu \frac{dW}{dr} + \rho \overline{v'w'}$$

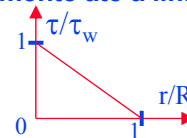


- Como o grad. Pressão é constante, o termo de tensão será linear com a distância da parede e portanto, após integração obtém-se:

$$\tau(r) = \frac{r}{j+1} \cdot \frac{dP}{dz} + C \rightarrow \tau(R) = \tau_w = \underbrace{\frac{R}{j+1}}_{\text{Balanço}} \cdot \underbrace{\frac{dP}{dz}}_{\text{Força}} \rightarrow C = \tau_w - \frac{R}{j+1} \cdot \frac{dP}{dz}$$

- Pode-se estabelecer uma relação direta entre o grad pressão e τ_w . Tomando por R o raio do tubo ou 1/2 altura do canal, e considerando o fato de serem perfis simétricos, a tensão varia linearmente até a linha de centro do canal:

$$\frac{\tau}{\tau_w} = 1 - \frac{(R-r)}{R}$$



Equação p/ Escoamento Desenvolvido (II)



- Definindo y como a distância da parede, $y = R - r$, e representando a tensão de Reynolds em termos da viscosidade turbulenta,

$$-\rho \overline{w'v'} = \mu_T \frac{dW}{dy}$$

- A distribuição linear da tensão, em termos do campo médio de velocidades é dada por:

$$(\mu + \mu_T) \frac{dW}{dy} = \rho u_\tau^2 \left(1 - \frac{y}{R}\right)$$

- Introduzindo as coordenadas internas, W^+ e y^+ , assim como $\mu_T^+ = \mu_T/\mu$, a forma adimensional para a eq quantidade de movimento fica sendo:

$$\left(1 + \mu_T^+\right) \frac{dW^+}{dy^+} = \left(1 - \frac{y^+}{R^+}\right) \quad \text{onde} \quad R^+ = \frac{u_\tau R}{\nu}$$



Equação p/ Escoamento Desenvolvido (III)



Eq. movimento necessita de uma c.c., na parede do tubo/canal não há deslizamento:

$$W^+(0) = 0$$

• para modelos que trabalham na camada interna (Van Driest), usualmente coloca-se:

$$W^+ = y^+, \quad p/ \quad 1 < y^+ < 5,$$

• para modelos que trabalham a partir da região logarítmica, $y^+ > 30$, usualmente coloca-se:

$$W^+ = \frac{1}{\kappa} \text{Ln}(y^+) + B, \quad p/ \quad 30 < y^+ < 200,$$



EXEMPLO: Const. Lei Log (I)



Utilizando o modelo de comprimento de mistura determine o valor da constante B na lei de parede, isto é, resolva a equação:

$$(1 + \mu^+) \frac{dU^+}{dy^+} = 1$$

Integre de $y^+ = 1$ a $y^+ = 500$ e calcule o valor limite da constante B examinando:

$$B = U^+ - \frac{1}{\kappa} \text{Ln}(y^+)$$

a medida que o limite superior da integral varia de acordo com os valores indicados: $y^+ = 250, 300, 350, 400, 450, 500$



EXEMPLO: Const. Lei Log (II)



LISTAGEM DO MATHEMATICA

```

k=0.41; (*Von Karman constante*)
VanDriest1[yp_]=1-Exp[-yp/26]; (*Fator Van Driest*)
Imixp[yp_]=k*yp*(VanDriest1[yp])^1; (*comp. mistura*)
(* expoente (1) ativa VanDriest, (0) compr. mistura Prandtl*)

uwall[yp_]=N[(1/k)*Log[yp]+5.0]; (* lei log p/ referência*)
eqwallmixL=up'[yp]-((1+4*(Imixp[yp])^2)^0.5-1)/(2*(Imixp[yp])^2);

ypiniL=1;
ypinfL=500;
N[uwall[ypiniL]]

gL[yinfL_]:=NDSolve[{eqwallmixL==0, up[ypiniL]==1}, up,
{yp,ypiniL,ypinfL}]
UPL[yp_]:=up[yp]/.gL[ypinfL][[1,1]]
c[yp_]:=N[UPL[yp]-(1/k)*Log[yp]]

```

IM – 450 'Modelagem em Turbulência' - Prof. Eugênio Spanó Rosa FEM/DE UNICAMP



EXEMPLO: Const. Lei Log (II)



LISTAGEM DO MATHEMATICA (saída gráfica)

```

LogLogPlot[{UPL[x],uwall[x]},{x,ypiniL,500},PlotRange->All,
AxesLabel->{"y+", "U+"},
PlotStyle->Hue[0],GridLines->Automatic,
Background->GrayLevel[0.7]];

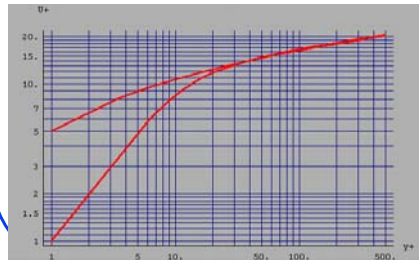
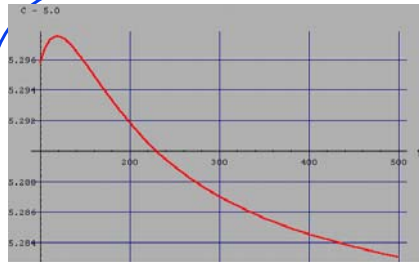
Plot[{c[x]},{x,100,500},PlotRange->All,
AxesLabel->{"y+", "C ~ 5.0"},
PlotStyle->Hue[0],GridLines->Automatic,
Background->GrayLevel[0.7]];

```

IM – 450 'Modelagem em Turbulência' - Prof. Eugênio Spanó Rosa FEM/DE UNICAMP



EXEMPLO: Const. Lei Log (III)



Y^+	B (s/ Van Driest)	B (c/ Van Driest)
250	-1.221	5.289
300	-1.223	5.287
350	-1.224	5.286
400	-1.225	5.285
450	-1.226	5.284
500	-1.227	5.283

IM - 450 'Modelagem em Turbulência' - Prof. Eugênio Spanó Rosa FEM/DE UNICAMP



EXEMPLO: escoamento Tubo (I)



Encontre uma solução para o escoamento em um tubo utilizando o modelo de comprimento de mistura com o comprimento de mistura nas camadas interna e externa dados por:

$$\ell_{\text{mix}} = \begin{cases} ky \left[1 - e^{-y^+/26} \right] & \text{camada interna} \\ 0.09R & \text{camada externa} \end{cases}$$

onde R é o raio do tubo. Utilize um esquema numérico de integração (Runge-Kutta). Compare o fator de atrito calculado por meio da relação:

$$\frac{1}{\sqrt{C_f}} = 4 \text{Log}_{10} \left(2 \text{Re}_D \sqrt{C_f} \right) - 1.6$$

onde C_f e Re_D são baseados na velocidade média na seção transversal do tubo. Compare também com o perfil de velocidades dos dados de Laufer para $\text{Re}_D = 40000$

$Y/(D/2)$	0.010	0.095	0.210	0.280	0.390	0.490	0.590	0.690	0.800	0.900	1.000
U/U_m	0.333	0.696	0.789	0.833	0.868	0.902	0.931	0.961	0.975	0.990	1.000

IM - 450 'Modelagem em Turbulência' - Prof. Eugênio Spanó Rosa FEM/DE UNICAMP



EXEMPLO: Escoamento Tubo Equacionamento



Substituindo o modelo de comp. de mistura para a μ_T na equação da quantidade de movimento, chega-se a expressão para o gradiente de velocidades:

$$\underbrace{\left[1 + \frac{(\ell_{mix}^+)^2}{\mu_T^+} \right]}_{\mu_T^+} \cdot \frac{dW^+}{dy^+} = \left(1 - \frac{y^+}{R^+} \right) \rightarrow \frac{dW^+}{dy^+} = \frac{\sqrt{1 + 4 \cdot (1 - y^+/R^+) \cdot (\ell_{mix}^+)^2} - 1}{2(\ell_{mix}^+)^2}$$

onde a raiz que corresponde a $dW^+/dy^+ < 0$ foi rejeitada. A velocidade média, em termos da variável interna:

$$W_{avg} = \frac{1}{\pi R^2} \int_0^R w(r) \cdot 2 \cdot \pi \cdot r \cdot dr = \frac{2}{R_0} \int_0^{R^+} w(y) \cdot \left(1 - \frac{y}{R} \right) \cdot dy \rightarrow W_{avg}^+ = \frac{2}{R^+} \int_0^{R^+} w^+(y^+) \left(1 - \frac{y^+}{R^+} \right) dy^+$$

O número de Reynolds do escoamento e o coeficiente de atrito em termos das variáveis internas são expressos por:

$$Re_D = \frac{W_{avg} D}{\nu} = 2 \frac{W_{avg} R}{\nu} = 2 \cdot W_{avg}^+ R^+$$

$$C_f = \frac{\tau_w}{\frac{1}{2} \rho W_{avg}^2} = 2 \frac{u_\tau^2}{W_{avg}^2} = \frac{2}{(W_{avg}^+)^2}$$



EXEMPLO: Escoamento Tubo Algoritmo



Define limites integração:
 $y^+ = y_{ini}^+$ & $y^+ = R^+$ (valor arbitrado)

Realizar Integração Numérica

$$y_{ini}^+ < 5 \rightarrow W^+ = y_{ini}^+ \\ 20 < y_{ini}^+ < 200 \rightarrow W^+ = \frac{1}{\kappa} \text{Ln}(y_{ini}^+) + B$$

$$W^+ = \int_{y_{ini}^+}^{y^+} \frac{\sqrt{1 + 4 \cdot (1 - \xi^+/R^+) \cdot (\ell_{mix}^+)^2} - 1}{2(\ell_{mix}^+)^2} d\xi + W^+(y_{ini}^+)$$

Calcular Velocidade Média

$$W_{avg}^+ = \frac{2}{R^+} \int_0^{R^+} w^+(y^+) \left(1 - \frac{y^+}{R^+} \right) dy^+$$

Calcular Re_D , C_f , v_T^+ , τ^+

$$Re_D = 2 \cdot W_{avg}^+ R^+$$

$$C_f = \frac{2}{(W_{avg}^+)^2}$$

$$v_T^+ = \frac{v_T}{\nu} = (\ell_{mix}^+)^2 \cdot \frac{dW^+}{dy^+}$$

$$\tau^+ = \frac{\tau_w/\rho}{u_\tau} = (\ell_{mix}^+)^2 \cdot \left(\frac{dW^+}{dy^+} \right)^2$$



EXEMPLO: Escoamento Tubo (II)



LISTAGEM DO MATHEMATICA

```

Remove["Global`*"]
k=0.41;                               (*Von Karman constante*)
rp=1100;                               (*Raio adimensional Tubo*)
VanDriest1[yp_]=1-Exp[-yp/26];        (*Fator Van Driest*)
Imixl[yp_]=k*yp*(VanDriest1[yp]);
ImixO[yp_]=0.09*rp;
Imixp[yp_]=If[Imixl[yp]<ImixO[yp],Imixl[yp],ImixO[yp]]; (*comp. mistura*)

```

```

eq1=up'[yp]-((1+4*(Imixp[yp])^2*(1-yp/rp))^0.5-1)/(2*(Imixp[yp])^2);
g1[rp_]:=NDSolve[{eq1==0, up[1]==1}, up, {yp, 1, rp}]

```

```

UPL:=g1[rp][[1,1,2]]
niTp[yp_]:=N[Imixp[yp]^2]*UPL'[yp]
taup[yp_]:=N[Imixp[yp]^2]*(UPL'[yp])^2
tauTp[yp_]:=N[(1+N[1+Imixp[yp]^2]*UPL'[yp])*UPL'[yp]*
Uavgp=(2/rp)*NIntegrate[UPL[x]*(1-x/rp),{x,1,rp}];
cf=2/(Uavgp)^2;
reD=2*rp*Uavgp;

```

IM – 450 'Modelagem em Turbulência' - Prof. Eugênio Spanó Rosa FEM/DE UNICAMP



EXEMPLO: Escoamento Tubo (III)



LISTAGEM DO MATHEMATICA (saída gráfica)

```

Print["   Escoamento em Tubo de Seção Circular "]
Print["   (+) representa coordenadas internas"]
Print[" u+ = u/u*; y+=yu*/ni; r+=Ru*/ni & niT+=niT/niL "]
Print["Raio Tubo (+)   ", rp]
Print["Reynolds Tubo   ", reD]
Print["Coef. Atrito     ", cf]
Print["Vel. Média (+)   ", Uavgp]

```

```

Plot[{Evaluate[UPL[x]]},{x,1,rp},PlotRange->All,
  AxesLabel->{"y+", "U+"},
  PlotStyle->Hue[0],GridLines->Automatic,
  Background->GrayLevel[0.7]];

```

IM – 450 'Modelagem em Turbulência' - Prof. Eugênio Spanó Rosa FEM/DE UNICAMP



EXEMPLO: Escoamento Tubo (III)



LISTAGEM DO MATHEMATICA (saída gráfica)

```

graph1=Plot[{Evaluate[tauTp[x]]},{x,1,rp},PlotRange->All,
  AxesLabel->{"y+", "tau+"},
  PlotStyle->Hue[0],GridLines->Automatic,
  Background->GrayLevel[0.7],DisplayFunction->Identity];
graph2=Plot[{Evaluate[taup[x]]},{x,1,rp},PlotRange->All,
  AxesLabel->{"y+", "u'v'/u^2"},
  PlotStyle->Hue[0.3],GridLines->Automatic,
  Background->GrayLevel[0.7],DisplayFunction->Identity];
Show[graph1,graph2,DisplayFunction->$DisplayFunction];

Plot[{Evaluate[niTp[x]]},{x,1,rp},PlotRange->All,
  AxesLabel->{"y+", "niT+"},
  PlotStyle->Hue[0],GridLines->Automatic,
  Background->GrayLevel[0.7]};

```

IM - 450 'Modelagem em Turbulência' - Prof. Eugênio Spanó Rosa FEM/DE UNICAMP



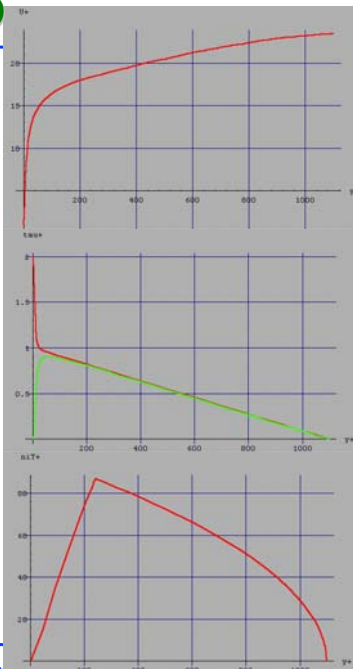
EXEMPLO: Escoamento Tubo (IV)



Escoamento em Tubo de Seção Circular

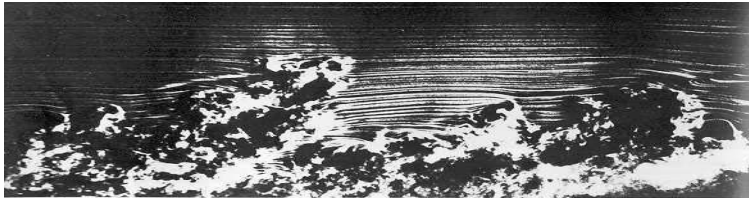
Raio Tubo (+) $R^+ = 1100$
 Reynolds Tubo $Re_D = 40922.3$
 Coef. Atrito $C_f = 0.00578036$
 Vel. Média (+) $U/U\tau = 18.601$

Escoamento Tubo Circular		
R^+	Re_D	C_f
60	$1.09 \cdot 10^3$	$2.41 \cdot 10^{-2}$
100	$2.24 \cdot 10^3$	$1.60 \cdot 10^{-2}$
300	$8.99 \cdot 10^3$	$8.90 \cdot 10^{-3}$
1000	$3.67 \cdot 10^4$	$5.94 \cdot 10^{-3}$
2000	$8.05 \cdot 10^4$	$4.93 \cdot 10^{-3}$



IM - 450 'Modelagem em Turbulência' - Prof. Eugênio Sp

- Aplicações do Modelo Algébrico Escoamentos de Camada Limite -



IM – 450 'Modelagem em Turbulência' - Prof. Eugênio Spanó Rosa FEM/DE UNICAMP

Método Diferenças Finitas p/ C.L. Turbulenta

- Do aspecto computacional C.L. Turbulentas apresentam mais dificuldades que as C.L. Laminares: elevados gradientes de velocidades próximo à parede;
- Elas requerem uma malha bem refinada próximo à parede para possibilitar uma correta integração iniciando da parede (camada interna) se estendendo pela região log até à camada externa.
- É necessário utilizar funções de parede (lei log ou Van-Driest) para fazer a ponte entre a parede ($U=0$) e o campo de escoamento.
- Este procedimento é iterativo pois não se tem conhecimento a priori do perfil de velocidades e conseqüentemente de v_τ nem tão pouco do atrito na parede;

IM – 450 'Modelagem em Turbulência' - Prof. Eugênio Spanó Rosa FEM/DE UNICAMP



Equações C.L. Turbulenta - 2D



- Equações da Camada Limite Turbulenta para escoamentos bi-dimensionais em Regime Permanente:

Eq. Massa
$$u \frac{\partial u}{\partial x} + v \frac{\partial v}{\partial y} = 0$$

Eq. Momento x
$$u \frac{\partial u}{\partial x} + v \frac{\partial u}{\partial y} = U_e \frac{dU_e}{dx} + \frac{\partial}{\partial y} \left[v \frac{\partial u}{\partial y} - \overline{u'v'} \right]$$

$-\frac{1}{\rho} \frac{dP}{dx}$ τ_{yx}

- Empregando a hipótese de Bousinesq, a eq. de Quantidade de Movimento em (x) pode ser expressa em termos da viscosidade efetiva, ν_{ef}

$$u \frac{\partial u}{\partial x} + v \frac{\partial u}{\partial y} = U_e \frac{dU_e}{dx} + \frac{\partial}{\partial y} \left[\nu_{ef} \frac{\partial u}{\partial y} \right] \quad \text{onde} \quad \nu_{ef} = \nu_L + \nu_T$$

- Métodos numéricos p/ C.L. Laminar podem ser modificados p/ C.L. Turbulenta. As diferenças surgem porque ν_{ef} não sendo constante faz surgir um termo extra

$$u \frac{\partial u}{\partial x} + v \frac{\partial u}{\partial y} = U_e \frac{dU_e}{dx} + \nu_{ef} \frac{\partial^2 u}{\partial y^2} + \frac{\partial u}{\partial y} \cdot \frac{\partial \nu_{ef}}{\partial y}$$

similar Eq. C.L. Laminar Termo Extra:
 ν_{ef} não const.



Equações Discretizadas C.L. Turbulenta - 2D



- Esquema Implícito (I) de diferenças finitas E

$$\left[u_{i-1,j} \cdot \left\{ \frac{u_{i,j} - u_{i-1,j}}{\Delta x} \right\} + v_{i-1,j} \cdot \left\{ \frac{u_{i-1,j+1} - u_{i-1,j-1}}{2\Delta y} \right\} \right] = \frac{1}{2\Delta x} \left\{ U_i^2 - U_{i-1}^2 \right\} + \nu_{i,j} \cdot \left\{ \frac{u_{i,j+1} - 2u_{i,j} + u_{i,j-1}}{2\Delta y} \right\}$$

Discretização coincidente com caso Laminar, porém ν não é constante mas varia com gradiente de velocidade!

$$+ \left\{ \frac{u_{i-1,j+1} - u_{i-1,j-1}}{2\Delta y} \right\} \cdot \left\{ \frac{v_{i-1,j+1} - v_{i-1,j-1}}{2\Delta y} \right\}$$

Termo Extra

- Sistema Tridiagonal de Equações Lineares acopladas:

$$-\alpha(v) \cdot [u_{i,j+1}] + [1 + 2\alpha(v)] \cdot [u_{i,j}] - \alpha(v) \cdot [u_{i,j-1}] = S_{i,j}$$

- Termo Fonte do sistema de equações:

$$S_{i,j} = \frac{1}{2\Delta x} \left\{ U_i^2 - U_{i-1}^2 \right\} + (\beta + \chi) \cdot [u_{i-1,j+1} - u_{i-1,j-1}]$$

- Coeficientes dos elementos do sistema de equações

$$\alpha(v) = \left\{ \frac{v_{i,j} \Delta x}{u_{i-1,j} (\Delta y)^2} \right\} \quad \beta = \left\{ \frac{\Delta x}{2u_{i-1,j} \Delta y} \right\} \quad \chi(v) = \left\{ \frac{\Delta x}{u_{i-1,j}} \right\} \cdot \left\{ \frac{v_{i-1,j+1} - v_{i-1,j-1}}{4(\Delta y)^2} \right\}$$

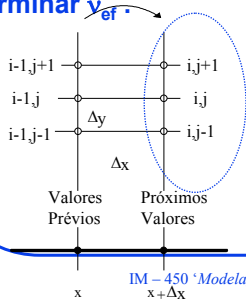


Algoritmo de Cálculo C.L. Turbulenta - 2D



- O sistema de equações lineares requer uma solução iterativa por não se ter conhecimento, a priori, dos valores que v_{ef} assume no plano (i).

- O parâmetro β depende dos valores obtidos em (i-1) porém os parâmetros α e χ dependem do perfil de velocidades em (i) para determinar v_{ef} .



IM - 450 'Modelagem em Turbulência' - Prof. Eugênio Spanó Rosa FEM/DE UNICAMP

Calcula S , α , β e χ com os valores de u^0 no plano (i)

Resolve sistema e determina u^n no plano (i)

$$-\alpha(v)[u_{i,j+1}] + [1 + 2\alpha(v)][u_{i,j}] - \alpha(v)[u_{i,j-1}] = S_{i,j}$$

Plano (i+1)

$|u^n - u^0|$

< tol

> tol

$u^0 = u^n$

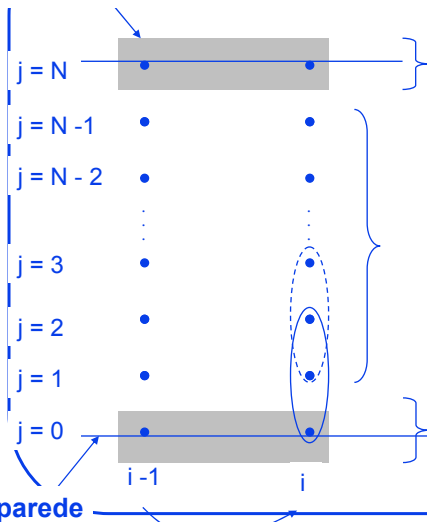
Com valores u^n determinar os parâmetros: S , α , β , χ e v_{ef}

Molécula Computacional



$$-\alpha(v)[u_{i,j+1}] + [1 + 2\alpha(v)][u_{i,j}] - \alpha(v)[u_{i,j-1}] = S_{i,j}$$

Esc. Externo



Condição contorno externa: a velocidade no último nó não é resolvida, mas é conhecida e igual a vel escoamento externo: $u(i,N) = U_e$

Nós interiores são determinados pela solução do sistema de equações lineares. A solução do plano (i) depende dos valores que os nós das extremidades assumem e do fonte S definido em termos dos valores no plano (i-1). Isto define o processo de marcha característico de sistemas parabólicos.

Condição contorno parede: a velocidade na parede é conhecida ($u = 0$, não deslizamento) e o modelo utiliza Van Driest ou a lei log ($u = (u_\tau/k) \ln y^+ + B$) e o 1 nó fica 'deslocado' da parede de y^+ .

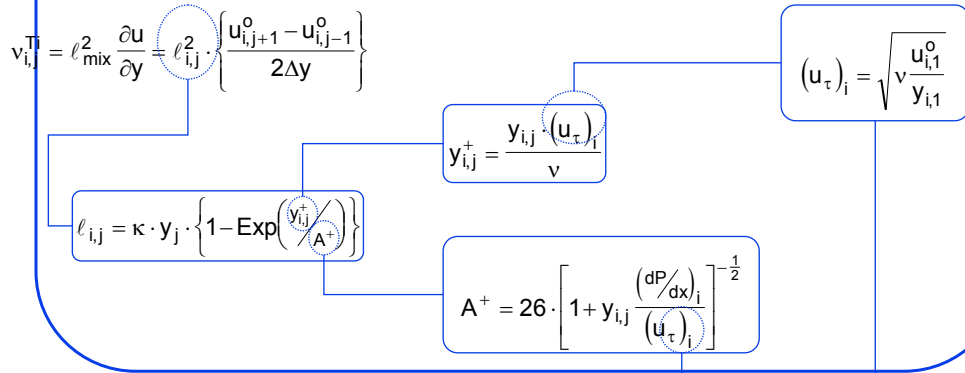
IM - 450 'Modelagem em Turbulência' - Prof. Eugênio Spanó Rosa FEM/DE UNICAMP

- Trata-se de um modelo de duas camadas. y_m é definido quanto a viscosidade turbulenta da camada externa ν^{To} fica igual a da camada interna, ν^{Ti} :

$$\nu_T = \nu^{Ti} \rightarrow y < y_m$$

$$\nu_T = \nu^{To} \rightarrow y > y_m$$

- Modelo da camada interna:



- Modelo da camada externa:

$$\nu_{i,j}^{To} = \alpha \cdot U_e \cdot \delta_i^* \cdot F_{Kleb}(y, \delta)$$

$$\delta_i^* = \int_0^{\delta_i} \left(1 - \frac{u^o}{(U_e)_i} \right) dy$$

$$F_{Kleb}(y, \delta) = \frac{1}{\left[1 + 5.5 \left(\frac{y}{\delta_i} \right)^6 \right]}$$

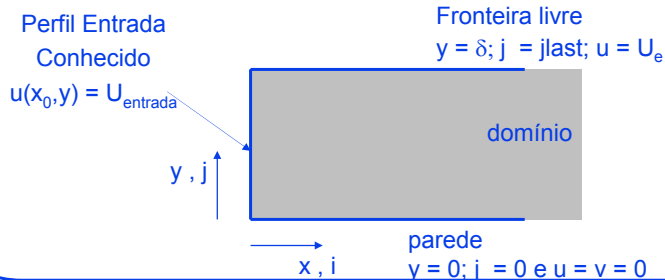
Espessura da C.L., δ_i , é definida de modo arbitrário. Usualmente é a distância da parede onde $u^o = 0.99U_e$



Condições de Contorno C.L. Turbulenta - 2D (I)



- A equação da quantidade de movimento e da massa requerem quatro condições de contorno para serem satisfeitas:
- $u(x_0, y) = u_{0,j} = \text{perfil conhecido}$
- $u(x, 0) = u_{i,0} = 0$ (não deslizamento ou $u_i = u_\tau/k^* \ln(y^+) + B$)
- $v(x, 0) = v_{i,0} = 0$ (sem injeção ou sucção massa)
- $u(x, \delta) = u_{i,\delta} = U_e$ (casamento c/ escoamento externo)



IM - 450 'Modelagem em Turbulência' - Prof. Eugênio Spanó Rosa FEM/DE UNICAMP



Condições de Contorno C.L. Turbulenta - 2D (II)



$u(x_0, y) = u_{0,j} = \text{perfil conhecido}$

Existem algumas possibilidades de se estimar um perfil de velocidades para dar 'início' ao processo de marcha do método:

- (1) Camada Limite é turbulenta a partir do bordo de ataque, isto é, em $x = 0$ (origem) o perfil de velocidades é uniforme igual a U_e a exceção da parede, $u = 0$ (não deslizamento). Isto permite dizer que no plano $i = 0$, $u = U_e$ a menos do nó da parede;
- (2) A camada limite se inicia laminar e transiciona após uma distância da origem para C.L. Turbulenta. O comprimento de transição pode ser estimado por relações empíricas e o perfil a montante do início da C.L. Turbulenta pode ser determinado a partir da solução da C.L. Laminar;
- (3) O perfil de início também pode ser conhecido por meio de medidas experimentais.

IM - 450 'Modelagem em Turbulência' - Prof. Eugênio Spanó Rosa FEM/DE UNICAMP



Condições de Contorno C.L. Turbulenta - 2D (III)



$$\underline{u(x,\delta) = U_e \text{ (casamento c/ escoamento externo)}}$$

Esta condição é imposta no último nó da grade correspondente a fronteira livre do domínio. A condição é facilmente atendida porém é necessário observar se o perfil de velocidades aproxima-se deste valor assintoticamente. Caso não seja o caso será necessário estender em y o domínio para atender esta exigência.

$$\underline{v(x,0) = 0 \text{ (sem injeção ou sucção massa)}}$$

Somente uma derivada de primeira ordem em v aparece no sistema de EDP. Assim v só pode atender a uma C.C.. É natural procurar satisfazer $v = 0$ na parede quando esta está ausente de sucção ou injeção de massa.



Condições de Contorno C.L. Turbulenta - 2D (IV)



$$\underline{u(x,0) = 0 \text{ (não deslizamento na parede)}}$$

Esta condição é imposta no primeiro nó da grade desde que o modelo tenha capacidade de integrar a EDP a partir da parede. Isto só é possível com a correção da Van Driest. Neste caso a malha computacional deve ter pelo menos 10 nós até entre $1 < y^+ < 20$ para que possibilite uma precisa integração na região interna. O primeiro nó coincide com a localização da parede.

$$u(x, y)_{\log} = u_{\log} \text{ (lei log)}$$

Ao invés de se integrar a partir da parede pode-se deslocar o primeiro nó a uma distância $20 < y^+ < 100$ da parede e começar a integração da EDP a partir da região log do perfil. Neste caso $u(x, y)_{\log} = (u^*/k) \cdot \ln(y^+) + u^* \cdot B$. Neste caso não é necessário empregar uma malha refinada próximo a parede o que pode representar uma substancial economia computacional.

O valor de u^* é arbitrado numa primeira aproximação porém o valor de $u(i, 1)$ é calculado internamente e deve ainda permanecer dentro da região log, neste caso u^* pode ser determinado pela solução da equação:

$$u^* \left[\underbrace{\frac{1}{\kappa} \ln \left(\frac{\delta \cdot u^*}{\nu} \right) + B}_{j=1 \rightarrow y, \text{ lei log}} \right] - \underbrace{u_{i,1}}_{\substack{\text{ui,1 det} \\ \text{solução} \\ \text{numérica}}} = 0 \quad \text{onde } \delta \text{ é a distância da parede do primeiro nó}$$

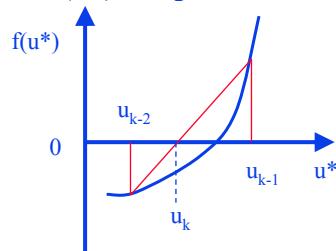
Processo Iterativo de Cálculo u^* e $u_{i,1}$

- A velocidade de atrito é determinada iterativamente porque a equação não permite uma forma explícita para u^* .
- O método mais usado é o método da secante. Considere $f(u^*)$ a função abaixo.

$$u_{\tau} \left[\underbrace{\frac{1}{\kappa} \ln \left(\frac{\delta \cdot u_{\tau}}{\nu} \right) + B}_{j=1 \rightarrow y} \right] - \underbrace{u_{i,1}}_{\substack{\text{ui,1 det} \\ \text{solução} \\ \text{numérica}}} = f(u_{\tau})$$

- O que se quer determinar é quanto $f(u^*) = 0$ para um dado $u_{i,1}$ que veio da solução numérica:

$$u_k^* = u_{k-1}^* - f(u_{k-1}^*) \cdot \frac{(u_{k-1}^* - u_{k-2}^*)}{f(u_{k-1}^*) - f(u_{k-2}^*)}$$



- Uma vez determinado u^* , é necessário varrer novamente toda linha ($i = \text{constante}$) a fim de determinar um novo campo de velocidades, inclusive $u_{i,1}$.
- Com o novo valor de $u_{i,1}$, repetir o processo descrito no slide anterior.
- Se a diferença entre as velocidade $u_{i,1}$ da iteração atual e anterior for menor que uma tolerância, interromper o processo e iniciar nova coluna i .

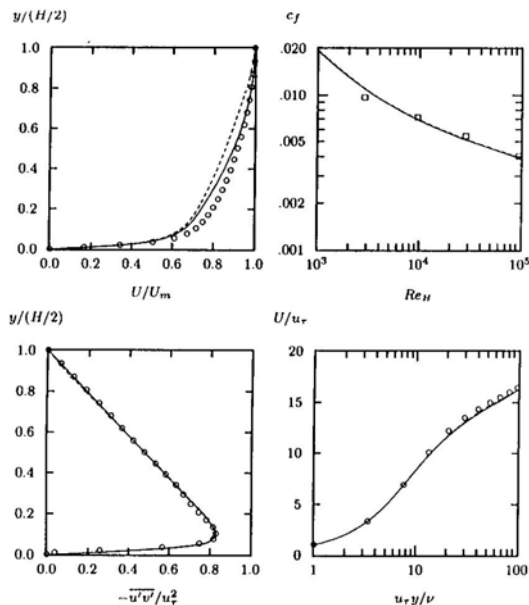


Figure 3.12: Comparison of computed and measured channel-flow properties. $Re_H = 13,750$. — Baldwin-Lomax; - - - Cebeci-Smith; \circ Mansour et al. (DNS); \square Halleen-Johnston correlation.

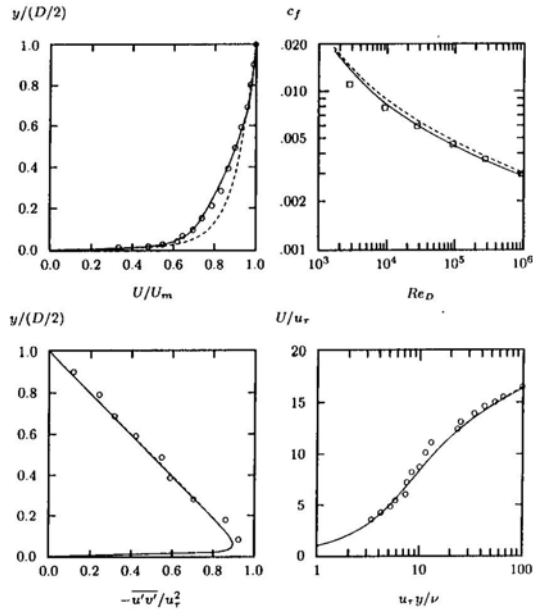


Figure 3.13: Comparison of computed and measured pipe-flow properties. $Re_D = 40,000$. — Baldwin-Lomax, - - - Cebeci-Smith, \circ Laufer, \square Prandtl Δ

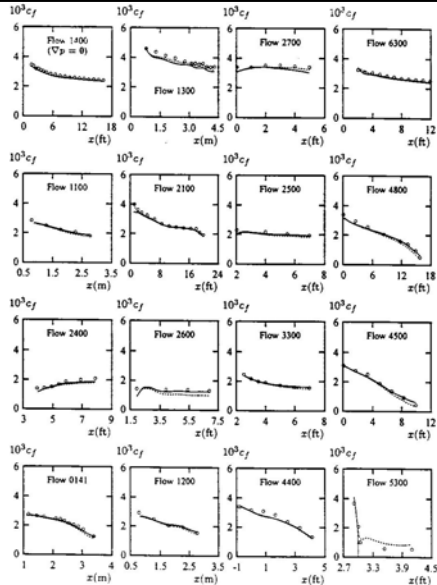


Figure 3.16: Computed and measured skin friction for boundary layers subjected to a pressure gradient. Top row - favorable ∇p ; next to top row - mild adverse ∇p ; next to bottom row - moderate adverse ∇p ; bottom row - strong adverse ∇p . — Baldwin-Lomax model, - - - Cebeci-Smith model; \circ measured.